# EVALUASI KESTABILAN PERALIHAN MESIN TUNGGAL DENGAN METODA RUNGE KUTTA ORDE 4

(Studi Kasus : Sistem Kelistrikan Sumatera)

# Heru Dibyo Laksono<sup>1</sup>, Alrino Rizki Ramadhan<sup>2</sup>

Jurusan Teknik Elektro, Universitas Andalas Padang, Kampus Limau Manis, Padang, Sumatera Barat Email : heru dl@ft.unand.ac.id

**Abstrak**—Jurnal ini membahas tentang evaluasi dan perhitungan waktu pemutusan kritis dari sistem kelistrikan Sumatera melalui studi kestabilan peralihan dengan menggunakan metoda Runge-Kutta Orde 4. Untuk jenis gangguan peralihan yang digunakan adalah gangguan tiga fasa simetris dengan bantuan perangkat lunak Matlab. Hasil perhitungan diperoleh bahwa nilai waktu pemutusan kritis terkecil terjadi antara PLTGU Belawan – GI Binjai dan PLTU Ombilin – GI Batusangkat sebesar 0.24 detik. Sedangkan waktu pemutusan kritis terbesar terjadi pada PLTG Pauh Limo – GI Indarung sebesar 1.14 detik..

Kata Kunci: Stabilitas peralihan, runge – kutta orde 4, waktu kritis pemutusan

**Abstract**—The journal discusses the evaluation and calculation of the termination time of the critical electrical system stability studies Sumatra through the transient stability by using the Runge-Kutta method Order 4. For this type of disorder transition used is a three-phase symmetrical disorder with the help of MATLAB software. The calculation result shows that the value of the smallest critical time termination occurs between PLTGU Belawan - GI Ombilin Binjai and power plant - GI Batusangkat at 0:24 seconds. While the most critical time of termination occurs at a power plant Pauh Limo - GI Indarung at 1:14 seconds.

Keywords: Stabilitas peralihan, runge – kutta orde 4, waktu kritis pemutusan .

#### I. PENDAHULUAN

Kebutuhan listrik di masyarakat semakin meningkat seiring dengan meningkatnya pemanfaatan tenaga listrik pada peralatanperalatan rumah tangga, kantor dan sebagainya, sehingga pasokan listrik harus ditambah yakni dengan pembangunan pembangkit listrik baru. Selain tersedianya pembangkitan yang cukup, hal lain yang juga harus ditentukan adalah apakah kondisi peralihan jika terjadi gangguan pada pembangkit akan mengganggu operasi normal sistem atau tidak. Hal ini akan berhubungan dengan kualitas listrik yang sampai ke konsumen berupa kestabilan frekuensi dan tegangan.

Suatu sistem tenaga listrik dapat dinyatakan bekerja dengan baik jika sistem tersebut mampu melayani beban secara kontinu pada tegangan dan frekuensi konstan. Agar dapat bekerja dengan baik, maka sistem tenaga listrik harus kemampuan untuk memiliki menjaga kestabilannya. Kemampuan sistem tenaga listrik untuk menjaga kestabilannya dapat dinyatakan sebagai stabilitas sistem tenaga. Stabilitas sistem tenaga merupakan sifat dari suatu sistem tenaga yang memungkinkannya tetap berada pada keseimbangan pada kondisi operasi normal dan mampu untuk kembali seimbang setelah mengalami suatu gangguan. Gangguan pada sistem tenaga listrik dapat disebabkan oleh berbagai hal dengan tingkat beragam pula. Diantara pengaruh yang gangguan yang dapat terjadi diantaraya perubahan kondisi sistem yang seketika, yang biasanya terjadi akibat adanya gangguan hubung singkat pada sistem tenaga listrik dan pelepasan atau penambahan beban yang besar

ISSN: 2302 - 2949

secara tiba-tiba dapat mengganggu kestabilan yang dimiliki sistem tenaga listrik.

Jika sistem tidak dapat menangani gangguan vang teriadi tepat pada waktunya, maka sistem dinyatakan tidak danat stabil dan ketidakstabilan akan mempengaruhi seluruh sistem yang ada. Ketidakstabilan yang terjadi pada suatu sistem pembangkitan tenaga listrik mengakibatkan generator kehilangan keserempakannya (tidak sinkron). Diperlukan suatu analisa kestabilan untuk menentukan karakteristik suatu sistem tenaga sehingga dapat dilakukan upaya untuk menjaga sinkronisasi suatu sistem. Kondisi peralihan dari sistem tenaga listrik pada saat gangguan dinyatakan secara matematis melalui persamaan linear diferensial. Salah satu metoda yang digunakan menvelesaikan persamaan diferensial adalah Metoda Runge-Kutta Orde 4. Meskipun metoda ini hanya dapat diaplikasikan pada satu pembangkit, namun metoda ini secara cepat dapat menentukan nilai waktu kritis pemutusan (critical clearing time). Beberapa studi stabilitas dengan metoda Runge Kutta Orde 4 telah dilakukan diantaranya oleh [1] kestabilan peralihan yang dimana studi dilakukan untuk menentukan waktu pemutusan dari suatu model sistem tenaga listrik dengan menggunakan metoda Runge Kutta Orde 4 dengan bantuan prangkat lunak Matlab. [2] melakukan prediksi tentang waktu kritis pemutusan dari sistem kelistrikan Jawa-Bali 500 KV dengan menggunakan metoda Runge Kutta Orde 4. [3] melakukan studi kestabilan dengan menggunakan matlab menggunakan metoda Runge Kutta Orde 4. [4] melakukan penentuan sudut kritis dan waktu kritis pada pembangkit dengan dua generator.

Sistem kelistrikan Sumatera merupakan sistem yang menyediakan kebutuhan energi listrik untuk para konsumen di Pulau Sumatera. Sistem kelistrikan Sumatera ini terdiri dari berbagai jenis pembangkit yang tersebar di berbagai lokasi di Pulau Sumatera mulai dari Aceh sampai Lampung. Agar sistem kelistrikan Sumatera ini mempuyai performansi yang baik dan andal maka perlu dilakukan berbagai kajian, salah satunya kajian kestabilan peralihan untuk menentukan waktu kritis pemutusan jika terjadi gangguan. Dengan demikian penelitian ini bertujuan untuk menentukan waktu pemutusan kritis gangguan sistem

kelistrikan Sumatera melalui studi peralihan. Adapun batasan dari penelitian ini adalah

ISSN: 2302-2949

- Perhitungan aliran daya dilakukan dengan menggunakan metoda Newton Raphson.
- Dalam menentukan nilai daya masukan maksimum dan sudut kritis pemutusan gangguan menggunakan metoda kriteria sama luas yang diterapkan pada satu pembangkit...
- Model dinamik pembangkit sebagian merupakan data tipikal.

#### II. TINJAUAN PUSTAKA

Stabilitas sistem tenaga listrik dinyatakan sebagai sifat dari suatu sistem tenaga listrik yang memungkinkannya tetap berada pada keseimbangan operasi pada kondisi operasi normal dan mampu untuk kembali seimbang setelah mengalami suatu gangguan. Suatu generator dapat bekerja pada operasi yang stabil saat terdapat keseimbangan antara daya masukan mekanis dengan daya keluaran listrik pada sistem dan saat kondisi operasi stabil tersebut, generator berputar pada kecepatan sinkron. Ketidakseimbangan antara masukan mekanis dan daya keluaran listrik dapat menyebabkan sinkronisasi generator hilang dan dapat mengganggu sistem yang lain. Ketidakstabilan dapat disebabkan oleh perubahan yang terjadi pada sumber penggerak utama, perubahan pada beban dan gangguangangguan lainnya. Perubahan-perubahan yang terjadi mengakibatkan ketidakseimbangan antara daya mekanis dan listrik. Kelebihan daya mekanis terhadap daya listrik mengakibatkan percepatan pada putaran rotor generator atau sebaliknya, bila gangguan tersebut tidak dihilangkan segera maka percepatan dan perlambatan putaran rotor generator akan mengakibatkan hilangnya sinkronisasi dalam sistem. Berdasarkan sifat gangguan, stabilitas sistem tenaga listrik dibedakan atas beberapa bagian diantaranya:

- 1. Stabilitas keadaan mantap (*steady state*).
- 2. Stabilitas keadaan peralihan (*transient*).
- 3. Stabilitas sub peralihan (dinamis).

Stabilitas keadaan adalah mantap suatu sistem tenaga listrik kemampuan mempertahankan sinkronisasi antara mesinmesin dalam sistem setelah mengalami gangguan kecil. Stabilitas keadaan peralihan adalah kemampuan suatu sistem tenaga listrik mempertahankan sinkronisasi setelah mengalami gangguan besar yang bersifat mendadak sekitar satu ayuna pertama dengan asumsi bahwa pengatur tegangan otomatis belum bekerja. Stabilitas dinamis adalah bila setelah kondisi peralihan sistem mampu mempertahankan sinkronisasi sampai sistem dalam keadaan seimbang yang baru.

#### 2.1 Stabilitas Sistem Tenaga Listrik

Suatu generator dapat bekerja pada operasi yang stabil saat terdapat keseimbangan antara daya masukan daya mekanis dengan daya keluaran elektrik pada sistem. Saat kondisi stabil, generator berputar operasi kecepatan sinkron. Perubahan yang terjadi pada sumber penggerak utama, perubahan pada beban, dan gangguan-gangguan lainnya dapat mengakibatkan ketidakseimbangan antara daya mekanis dan elektrik. Kelebihan daya mekanis terhadap dava elektrik mengakibatkan percepatan pada putaran rotor generator atau sebaliknya [5]. Bila gangguan tersebut tidak dihilangkan segera maka percepatan atau perlambatan putaran rotor generator mengakibatkan hilangnya sinkronisasi dalam sistem [6]. Selain itu beberapa teori pendukung digunakan dalam penelitian vang diantaranya persamaan ayunan [5], pemodelan mesin sinkron dalam studi kestabilan [6], kriteria sama luas untuk menentukan stabilitas peralihan [5] dan aplikasi kriteria sama luas untuk kasus gangguan tiga fasa [7] dan metoda Runge-Kutta Orde 4 [5].

#### 2.2 Metoda Runge Kutta Orde 4

Metode Runge-Kutta dikembangkan untuk menghindari penghitungan turunan-turunan yang berorde lebih tinggi. Sebagai ganti dari turunan-turunan ini maka digunakan nilai-nilai

tambahan dari fungsi f(x,y)Kesederhanaanya telah membuat metoda ini menjadi sangat populer. Dengan Penyelesaian Runge-Kutta

Orde 4, dimana untuk menentukan harga x(t), tentukan terlebih dahulu empat konstanta dalam bentuk persamaan (1) s/d (4) berikut

$$\mathbf{k}_{1} = \mathbf{f}\left(\mathbf{t}_{i}, \mathbf{x}_{i}\right) \Delta \mathbf{t} \tag{1}$$

ISSN: 2302-2949

$$k_2 = f\left(t_i + \frac{1}{2}\Delta t, x_i + \frac{1}{2}k_1\right)\Delta t$$
 (2)

$$k_3 = f\left(t_i + \frac{1}{2}\Delta t, x_i + \frac{1}{2}k_2\right)\Delta t$$
 (3)

$$k_4 = f(t_1 + \Delta t, x_1 + k_3) \Delta t \tag{4}$$

Sehingga algoritma perhitungan untuk harga x berturut-turut dapat dicari dengan persamaan berikut

$$x_{i+1} = x_i + \frac{1}{6} (k_1 + 2k_2 + 2k_3 + k_4)$$
 (5)

Untuk menentukan penyelesaian persamaan ayunan dimana daya masukan  $P_{\rm m}$  diasumsikan konstan, pada operasi keadaan mantap dimana  $P_{\rm e} = P_{\rm m}$  dan sudut daya mula-mula dinyatakan dalam bentuk persamaan (6) berikut

$$\delta_0 = \sin^{-1} \left( \frac{P_m}{P_{l_{max}}} \right) \tag{6}$$

Dimna

$$P_{lmax} = \frac{|E'||V|}{X_1} \tag{7}$$

dan  $X_1$  adalah reaktansi transfer sebelum gangguan. Rotor berputar pada kecepatan sinkron dan kemudian kecepatan putar berubah menjadi nol, sehingga diperoleh persamaan (8) berikut

$$\omega_0 = 0 \tag{8}$$

Gangguan tiga fasa terjadi salah satu pertengahan saluran sehingga persamaan sudut daya dinyatakan dalam bentuk persamaan (9) berikut

$$P_{\text{2max}} = \frac{|E'||V|}{X_2} \tag{9}$$

dan  $X_2$  adalah reaktansi transfer selama gangguan. Dengan demikian persamaan ayunan dinyatakan dalam bentuk persamaan (10) berikut

$$\frac{d^2\delta}{dt^2} = \frac{\pi f_0}{H} \left( P_m - P_{2\text{max}} \sin \delta \right) = \frac{\pi f_0}{H} P_a \quad (10)$$

Persamaan (10) ditransformasikan kedalam bentuk persamaan (11) dan (12) berikut

$$\frac{d\delta}{dt} = \omega \tag{11}$$

$$\frac{d\omega}{dt} = \frac{\pi f_0}{H} P_a \tag{12}$$

Untuk menentukan harga  $\delta$  dan  $\omega$  dengan penyelesaian metoda Runge-Kutta orde 4, terlebih dahulu tentukan harga-harga  $K_1$ ,  $K_2$ ,  $K_3$ ,  $K_4$ ,  $l_1$ ,  $l_2$ ,  $l_3$ dan  $l_4$  sebagai berikut:

$$k_1 = f(\delta_i, \omega_i) \Delta t = \omega_i \Delta_t$$
 (13)

$$l_1 = g(\delta_i, \omega_i) \Delta_t = \frac{\pi f}{H} (P_m - P_e) \Delta_t$$
 (14)

$$k_2 = f\left(\delta_i + \frac{1}{2}k_1, \omega_i + \frac{1}{2}l_1\right)\Delta t = \left(\omega_i + \frac{1}{2}l_i\right)\Delta_t$$
(15)

$$l_2 = g \left( \delta_i + \frac{1}{2} k_1, \omega_i + \frac{1}{2} l_i \right) \Delta_t$$

$$l_2 = \frac{\pi f}{H} \left( P_m - P_e \sin(\delta_i + \frac{1}{2} k_1) \right) \Delta_t$$
(16)

$$k_3 = f\left(\delta_i + \frac{1}{2}k_2, \omega_i + \frac{1}{2}l_2\right)\Delta_t$$

$$k_3 = \left(\omega_i + \frac{1}{2}l_2\right)\Delta_t$$
(17)

$$l_{3} = g \left( \delta_{i} + \frac{1}{2} k_{2}, \omega_{i} + \frac{1}{2} l_{2} \right) \Delta_{t}$$

$$l_{3} = \frac{\pi f}{H} \left( P_{m} - P_{e} \sin \left( \delta_{i} + \frac{1}{2} k_{2} \right) \right) \Delta_{t}$$
(18)

$$k_4 = f\left(\delta_i + k_3, \omega_i + l_3\right) \Delta_t$$

$$k_4 = (\omega_i + l_3) \Delta_t$$
(19)

$$l_4 = g\left(\delta_i + k_3, \omega_i + l_3\right) \Delta_t$$

$$l_4 = \frac{\pi f}{H} \left(P_m - P_e \sin\left(\delta_i + k_3\right)\right) \Delta_t$$
(20)

Selanjutnya harga  $\delta$  dan  $\omega$  dapat ditentukan dengan menggunakan persamaan (21) dan (22) berikut

$$\delta_{i+1} = \delta_i + \frac{1}{6} (k_1 + 2k_2 + 2k_3 + k_4)$$
 (21)

$$\omega_{i+1} = \omega_i + \frac{1}{6} \left( l_1 + 2l_2 + 2l_3 + l_4 \right)$$
 (22)

### III. METODOLOGI PENELITIAN

Adapun prosedur dari penelitian ini adalah

ISSN: 2302-2949

- 1. Pengumpulan data yang diperlukan terdiri data saluran, data pembangkitan dan data pembebanan sistem kelistrikan Sumatera.
- Penentuan nilai pembangkitan daya aktif dan reaktif yang diperoleh dengan melakukan perhitungan aliran daya menggunaka metoda Newton Raphson.
- 3. Penerapan metoda kriteria sama luas untuk memperhitungkan kondisi stabilitas peralihan pembangkit untuk gangguan tiga fasa simetris.
- 4. Penentuan waktu kritis pemutusan gangguan dengan menggunakan metoda Runge-Kutta Orde 4.

### IV. HASIL PEMBAHASAN

Hasil perhitungan untuk nilai waktu pemutusan kritis *critical clearing time* (CCT) pada pembangkit – pembangkit yang ada pada sistem kelistrikan Sumatera diperlihatkan pada Tabel 1. berikut

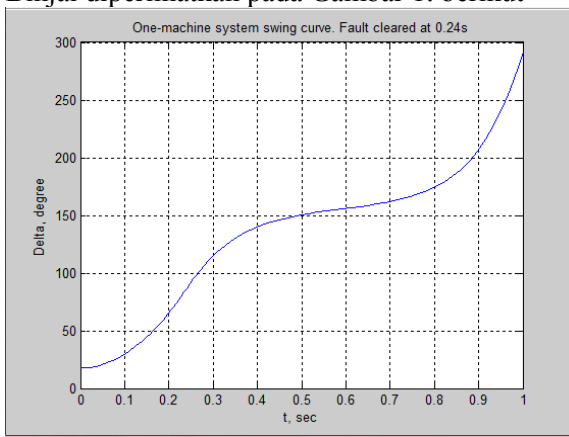
Tabel 1. Hasil Perhitungan Waktu Pemutusan Kritis Sistem Kelistrikan Sumatera

Bus Tujuan   Terganggu   (detik)	1111	iis sisteili Reiist		
Bus Tujuan   Terganggu   (defik)	Pembagki		Saluran	CCT
PLTGU   Belawan   GI Binjai   1   0.2400     PLTGU   2   0.2400     Belawan   GI Sei Rotan   1   0.2500     PLTU   GI Paya Pasir   1   0.3900     Belawan   2   0.3900     PLTA   GI Payakumbuh   1   0.6200     Koto   2   0.6200     Panjang   PLTA   GI Lubuk   1   0.9200     Maninjau   Alung   2   0.9200     PLTA   GI Lubuk   1   0.5000     PLTA   GI Lubuk   1   0.5000     PLTG   GI Indarung   2   0.5000     PLTG   GI Indarung   1   1.0400     Pauh   2   1.0400     Limo   GI Batu   1   0.2400     PLTU   Sangkar   2   0.2400     Ombilin   GI Kiliran Jao   1   0.2500     PLTA   GI Pekalongan   1   0.3700     Musi   PLTU   GI Lahat   1   0.4500     PLTU	t	Bus Tujuan	Terganggu	(detik)
PLTGU         2         0.2400           Belawan         GI Sei Rotan         1         0.2500           PLTU         GI Paya Pasir         1         0.3900           PLTA         GI Payakumbuh         1         0.6200           Koto         2         0.6200           Panjang         2         0.6200           PLTA         GI Lubuk         1         0.9200           Maninjau         Alung         2         0.9200           PLTA         GI Lubuk         1         0.5000           PLTG         GI Lubuk         1         0.5000           PLTG         GI Indarung         1         1.0400           Puh         2         1.0400           Puh         2         0.2400           PLTU         Sangkar         2         0.2400           PLTA         GI Riliran Jao         1         0.2500           PLTA         GI Pekalongan         1         0.3700           PLTU         GI Lahat         1         0.4500	·			,
Belawan         GI Sei Rotan         1         0.2500           PLTU         GI Paya Pasir         1         0.3900           Belawan         2         0.3900           PLTA         GI Payakumbuh         1         0.6200           Koto         2         0.6200           Panjang         2         0.6200           PLTA         GI Lubuk         1         0.9200           Maninjau         Alung         2         0.9200           PLTA         GI Lubuk         1         0.5000           PLTA         GI Lubuk         1         0.5000           PLTG         GI Indarung         1         1.0400           Puh         2         1.0400           Puh         2         1.0400           PLTU         Sangkar         2         0.2400           PLTU         GI Kiliran Jao         1         0.2500           PLTA         GI Pekalongan         1         0.3700           PLTU         GI Lahat         1         0.4500		GI Binjai	1	0.2400
PLTU	PLTGU		2	0.2400
PLTU         GI Paya Pasir         1         0.3900           Belawan         2         0.3900           PLTA         GI Payakumbuh         1         0.6200           Koto         2         0.6200           Panjang         2         0.6200           PLTA         GI Lubuk         1         0.9200           Maninjau         Alung         2         0.9200           PLTA         GI Lubuk         1         0.5000           PLTG         GI Lubuk         1         0.5000           PLTG         GI Indarung         1         1.0400           Pauh         2         1.0400           Limo         2         0.2400           PLTU         Sangkar         2         0.2400           PLTU         GI Kiliran Jao         1         0.2500           PLTA         GI Pekalongan         1         0.3700           PLTU         GI Lahat         1         0.4500	Belawan	GI Sei Rotan	1	0.2500
Belawan         2         0.3900           PLTA         GI Payakumbuh         1         0.6200           Koto         2         0.6200           Panjang         2         0.6200           PLTA         GI Lubuk         1         0.9200           Maninjau         Alung         2         0.9200           PLTA         GI Lubuk         1         0.5000           PLTG         GI Lubuk         1         1.0400           Puh         2         1.0400           Pauh         2         1.0400           Limo         GI Batu         1         0.2400           PLTU         Sangkar         2         0.2400           Ombilin         GI Kiliran Jao         1         0.2500           PLTA         GI Pekalongan         1         0.3700           PLTU         GI Lahat         1         0.4500			2	0.2500
PLTA         GI Payakumbuh         1         0.6200           Koto         2         0.6200           Panjang         2         0.6200           PLTA         GI Lubuk         1         0.9200           Maninjau         Alung         2         0.9200           PLTA         GI Lubuk         1         0.5000           Singkarak         Alung         2         0.5000           PLTG         GI Indarung         1         1.0400           Pauh         2         1.0400           Limo         GI Batu         1         0.2400           PLTU         Sangkar         2         0.2400           Ombilin         GI Kiliran Jao         1         0.2500           PLTA         GI Pekalongan         1         0.3700           PLTU         GI Lahat         1         0.4500	PLTU	GI Paya Pasir	1	0.3900
Koto         2         0.6200           Panjang         2         0.6200           PLTA         GI Lubuk         1         0.9200           Maninjau         Alung         2         0.9200           PLTA         GI Lubuk         1         0.5000           Singkarak         Alung         2         0.5000           PLTG         GI Indarung         1         1.0400           Pauh         2         1.0400           Limo         GI Batu         1         0.2400           PLTU         Sangkar         2         0.2400           Ombilin         GI Kiliran Jao         1         0.2500           PLTA         GI Pekalongan         1         0.3700           Musi         2         0.3700           PLTU         GI Lahat         1         0.4500	Belawan	-	2	0.3900
Panjang         PLTA         GI Lubuk         1         0.9200           Maninjau         Alung         2         0.9200           PLTA         GI Lubuk         1         0.5000           Singkarak         Alung         2         0.5000           PLTG         GI Indarung         1         1.0400           Pauh         2         1.0400           Limo         GI Batu         1         0.2400           PLTU         Sangkar         2         0.2400           Ombilin         GI Kiliran Jao         1         0.2500           PLTA         GI Pekalongan         1         0.3700           Musi         2         0.3700           PLTU         GI Lahat         1         0.4500	PLTA	GI Payakumbuh	1	0.6200
PLTA         GI Lubuk         1         0.9200           Maninjau         Alung         2         0.9200           PLTA         GI Lubuk         1         0.5000           Singkarak         Alung         2         0.5000           PLTG         GI Indarung         1         1.0400           Pauh         2         1.0400           Limo         GI Batu         1         0.2400           PLTU         Sangkar         2         0.2400           Ombilin         GI Kiliran Jao         1         0.2500           PLTA         GI Pekalongan         1         0.3700           Musi         2         0.3700           PLTU         GI Lahat         1         0.4500	Koto		2	0.6200
Maninjau         Alung         2         0.9200           PLTA         GI Lubuk         1         0.5000           Singkarak         Alung         2         0.5000           PLTG         GI Indarung         1         1.0400           Pauh         2         1.0400           Limo         GI Batu         1         0.2400           PLTU         Sangkar         2         0.2400           Ombilin         GI Kiliran Jao         1         0.2500           PLTA         GI Pekalongan         1         0.3700           Musi         2         0.3700           PLTU         GI Lahat         1         0.4500	Panjang			
PLTA         GI Lubuk         1         0.5000           Singkarak         Alung         2         0.5000           PLTG         GI Indarung         1         1.0400           Pauh         2         1.0400           Limo         1         0.2400           PLTU         Sangkar         2         0.2400           Ombilin         GI Kiliran Jao         1         0.2500           PLTA         GI Pekalongan         1         0.3700           Musi         2         0.3700           PLTU         GI Lahat         1         0.4500	PLTA	GI Lubuk	1	0.9200
Singkarak         Alung         2         0.5000           PLTG         GI Indarung         1         1.0400           Pauh         2         1.0400           Limo         GI Batu         1         0.2400           PLTU         Sangkar         2         0.2400           Ombilin         GI Kiliran Jao         1         0.2500           PLTA         GI Pekalongan         1         0.3700           Musi         2         0.3700           PLTU         GI Lahat         1         0.4500	Maninjau	Alung	2	0.9200
PLTG Pauh Limo         GI Indarung         1         1.0400           PLTU Sangkar         2         1.0400           Ombilin Ombilin GI Kiliran Jao         1         0.2400           PLTA GI Pekalongan Musi         1         0.2500           PLTU GI Lahat         1         0.3700           PLTU GI Lahat         1         0.4500	PLTA	GI Lubuk	1	0.5000
Pauh Limo         2         1.0400           PLTU         GI Batu         1         0.2400           PLTU         Sangkar         2         0.2400           Ombilin         GI Kiliran Jao         1         0.2500           2         0.2500           PLTA         GI Pekalongan         1         0.3700           Musi         2         0.3700           PLTU         GI Lahat         1         0.4500	Singkarak	Alung	2	0.5000
Limo         GI Batu         1         0.2400           PLTU         Sangkar         2         0.2400           Ombilin         GI Kiliran Jao         1         0.2500           2         0.2500           PLTA         GI Pekalongan         1         0.3700           Musi         2         0.3700           PLTU         GI Lahat         1         0.4500	PLTG	GI Indarung	1	1.0400
PLTU         GI Batu         1         0.2400           Ombilin         GI Kiliran Jao         2         0.2400           Ombilin         GI Kiliran Jao         1         0.2500           2         0.2500           PLTA         GI Pekalongan         1         0.3700           Musi         2         0.3700           PLTU         GI Lahat         1         0.4500	Pauh		2	1.0400
PLTU         Sangkar         2         0.2400           Ombilin         GI Kiliran Jao         1         0.2500           2         0.2500           PLTA         GI Pekalongan         1         0.3700           Musi         2         0.3700           PLTU         GI Lahat         1         0.4500	Limo			
Ombilin         GI Kiliran Jao         1         0.2500           2         0.2500           PLTA         GI Pekalongan         1         0.3700           Musi         2         0.3700           PLTU         GI Lahat         1         0.4500		GI Batu	1	0.2400
PLTA Musi         GI Pekalongan         1 0.3700           PLTU GI Lahat         1 0.4500	PLTU	Sangkar	2	0.2400
PLTA Musi         GI Pekalongan         1         0.3700           PLTU         GI Lahat         2         0.3700           1         0.4500         0.4500	Ombilin	GI Kiliran Jao	1	0.2500
Musi         2         0.3700           PLTU         GI Lahat         1         0.4500			2	0.2500
Musi         2         0.3700           PLTU         GI Lahat         1         0.4500	PLTA	GI Pekalongan	1	0.3700
	Musi		2	0.3700
	PLTU	GI Lahat	1	0.4500
2 0.1500	Bukit		2	0.4500
Asam	Asam			

PLTG Keramasa	GI Bukit	1	0.2600
	Siguntung	2	0.2600
	GIBungaran	1	0.2700
11		2	0.2700
PLTA	GI Keramasan	1	0.4800
Besai		2	0.4800

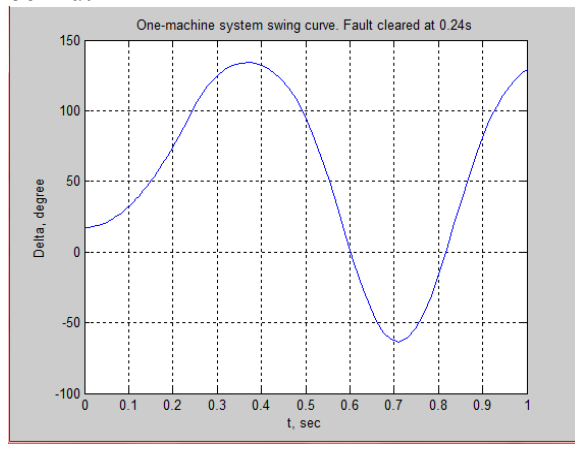
Berdasarkan hasil perhitungan nilai pemutusan gangguan dengan metoda Runge-Kutta orde 4 didapatkan bahwa nilai waktu pemutusan kritis terkecil terjadi jika terjadi gangguan antara PLTGU Belawan – GI Binjai dan PLTU Ombilin – GI Batusangkar yaitu sebesar 0.24 detik. Untuk waktu pemutusan kritis terbesar terjadi jika terjadi gangguan antara PLTG Pauh Limo – GI Indarung sebesar 1.0400 detik.

Untuk kurva ayunan sudut pemutusan saat terjadi gangguan antara PLTGU Belawan – GI Binjai diperlihatkan pada Gambar 1. berikut



Gambar 1. Kurva Ayunan Sudut Pemutusan Saat Terjadi Gangguan Antara PLTGU Belawan – GI Binjai

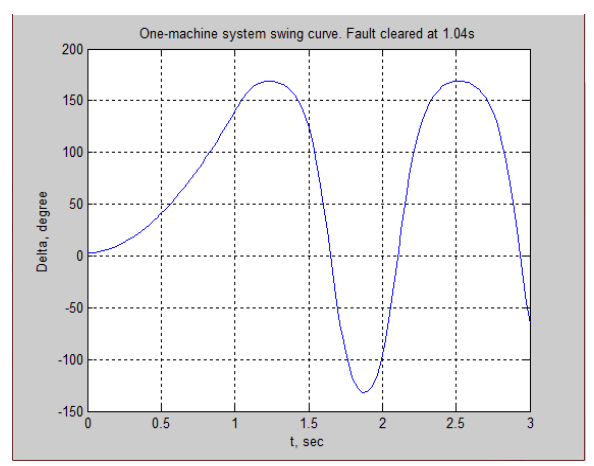
Untuk kurva ayunan sudut pemutusan saat terjadi gangguan antara PLTU Ombilin – GI Batusangkar diperlihatkan pada Gambar 2. berikut



Gambar 2. Kurva Ayunan Sudut Pemutusan Saat Terjadi Gangguan Antara PLTU Ombilin – GI Batusangkar

ISSN: 2302-2949

Untuk kurva ayunan sudut pemutusan saat terjadi gangguan antara PLTG Pauh Limo – GI Indarung diperlihatkan pada Gambar 3. Berikut



Gambar 3. Kurva Ayunan Sudut Pemutusan Saat Terjadi Gangguan Antara PLTG Pauh Limo- GI Indarung

#### V. KESIMPULAN

Adapun kesimpulan yang diperoleh dari penelitian ini adalah:

- Nilai waktu pemutusan kritis terkecil terjadi jika ada gangguan antara PLTGU Belawan – GI Binjai sebesar 0.24 detik.
- Nilai waktu pemutusan kritis terbesar terjadi jika ada gangguan antara PLTG Pauh Limo
   GI Indarung, sebesar 1.04 detik.

## DAFTAR PUSTAKA

- [1] Ulum, Misbahul, Studi Stabilitas Transient Tenaga Listrik dengan Metode Kriteria Luas Sama Menggunakan Matlab, Universitas Negeri Surabaya, (2007).
- [2] Irrine Budi Sulistiawati, Muhammad Abdillah, Adi Soeprijanto, Prediksi Waktu Kritis Pemutusan Sistem Kelistrikkan Jawa Bali 500 KV Dengan Menggunakan Metoda Runge Kutta Orde 4, Procedding, Seminar Sistem Tenaga

ISSN: 2302-2949

- Listrik, Institute Teknologi Sepuluh November (ITS), (2006)
- [3] Basu, Pranamita & Aiswarya Harichandan, Power System Stability Studies Using Matlab, National Institute of Technology Rourkela, (2008)
- [4] Sudibya, Bambang, Penentuan Sudut Kritis dan Waktu Kritis Pada Pembangkit Dengan Dua Generator, Jurnal Litek Vol. 6. (2009)
- [5] Hadi Saadat, *Power System Analysis*, McGraw Hill, New York (1999)
- [6] Kundur, Prabha, Power System Stability and Control, Prentice Hall, New Jersey,(1993)
- [7] Jha Ankit, Transient Stability Analysis
  Using Equal Area Criterion Using
  Simulink Model, National Institute of
  Technology Rourkela, (2008)

#### Biodata Penulis

Heru Dibyo Laksono ST, MT, Lahir di Sawah Lunto, 7 Januari 1977, Menamatkan S1 di Jurusan Teknik Elektro Universitas Andalas (Unand) Padang tahun 2000 bidang Teknik Tenaga Listrik. Pendidikan S2 bidang Kendali dan Sistem diselesaikan di Institute Teknologi Bandung (ITB) tahun 2004. Masuk sebagai dosen Teknik Elektro Universitas Andalas sejak tahun 2005.

Alrino Rizki Ramadhan ST, terdaftar pada bulan Agustus 2007 dan menyelesaikan program sarjana di Jurusan Teknik Elektro Universitas Andalas tahun 2012 dengan bidang keahlian kendali sistem tenaga listrik.